

· 实验研究 ·

大鼠视网膜缺血再灌注后 IGF-1 及 IGFBP-3 的表达和意义

张冬梅, 张文芳, 鲁建华, 杜 宁

作者单位:(730030)中国甘肃省兰州市,兰州大学第二医院眼科
作者简介:张冬梅,女,在读硕士研究生,研究方向:眼底病。

通讯作者:张文芳,女,博士,教授,主任医师,硕士研究生导师,
甘肃省医学学会眼科专业委员会主任委员,研究方向:眼底病。
zhangwf888@163.com

收稿日期:2011-12-31 修回日期:2012-02-10

Expression and significance of IGF-1 and IGFBP-3 in retinal ischemia-reperfusion in rats

Dong-Mei Zhang, Wen-Fang Zhang, Jian-Hua Lu,
Ning Du

Department of Ophthalmology, Second Hospital of Lanzhou University, Lanzhou 730030, Gansu Province, China

Correspondence to: Wen-Fang Zhang. Department of Ophthalmology, Second Hospital of Lanzhou University, Lanzhou 730030, Gansu Province, China. zhangwf888@163.com

Received:2011-12-31 Accepted:2012-02-10

Abstract

- AIM: To investigate the expression pattern and correlation of insulin-like growth factor-1 (IGF-1) and its binding protein-3 (IGFBP-3) in the ischemia-reperfusion in rats.
- METHODS: The models of retinal ischemia-reperfusion in rats were made. In order to analyze the correlation and expression between IGF-1 and IGFBP-3 in retinal ischemia-reperfusion model, immunohistochemical method was used.
- RESULTS: In the normal retina, IGF-1 and IGFBP-3 were slightly expressed, while in retinal ischemia-reperfusion group, the expression of IGF-1 ascended obviously at 6 hours, reached peak at 72 hours; the expression of IGFBP-3 ascended obviously at 12 hours, reached peak at 72 hours, and the two had a collaborative relationship.
- CONCLUSION: IGF-1 and IGFBP-3 expression are closely related to retinal ischemia-reperfusion injury, and have a positive correlation.
- KEYWORDS: retina;ischemia-reperfusion; IGF-1; IGFBP-3

Zhang DM, Zhang WF, Lu JH, et al. Expression and significance of IGF-1 and IGFBP-3 in retinal ischemia-reperfusion in rats. *Guoji Yanke Zazhi(Int Eye Sci)* 2012;12(3):413-415

摘要

目的:探讨胰岛素样生长因子-1(IGF-1)及胰岛素样生长因子结合蛋白-3(IGFBP-3)在大鼠视网膜缺血再灌注损伤(RIRI)后的表达规律及相关性。

方法:建立大鼠视网膜缺血再灌注模型,应用免疫组织化

学法检测大鼠 RIRI 后视网膜组织 IGF-1 和 IGFBP-3 表达的变化规律,对两者进行相关性分析。

结果:正常视网膜组织 IGF-1 和 IGFBP-3 即有轻微表达,IGF-1 在缺血再灌注后 6h 表达明显增高,72h 达到高峰,IGFBP-3 在缺血再灌注后 12h 表达明显增高,72h 达到高峰,且二者具有相关性。

结论:IGF-1 和 IGFBP-3 表达与 RIRI 有关,两者呈正相关。

关键词:视网膜;缺血再灌注损伤;IGF-1;IGFBP-3

DOI:10.3969/j.issn.1672-5123.2012.03.11

张冬梅,张文芳,鲁建华,等. 大鼠视网膜缺血再灌注后 IGF-1 及 IGFBP-3 的表达和意义. 国际眼科杂志 2012;12(3):413-415

0 引言

视网膜缺血再灌注损伤(RIRI)是造成视神经损害和致盲的常见眼科临床疾病的病理过程^[1]。本实验选用成年 SD 大鼠,采用升高眼压的方法制作 RIRI 模型,应用免疫组织化学法检测大鼠 RIRI 后视网膜组织 IGF-1 和 IGFBP-3 表达的变化规律,对两者进行相关性分析来探讨其在 RIRI 中可能发挥的作用。

1 材料和方法

1.1 材料 兔抗大鼠 IGF-1 一抗(北京博奥森生物技术有限公司),兔抗大鼠 IGFBP-3 一抗(北京博奥森生物技术有限公司),免疫组织化学 SABC 试剂盒、DAB 显色试剂盒(北京博奥森生物技术有限公司),选择 40g/L 多聚甲醛(武汉博士德生物工程有限公司),裂隙灯显微镜(德国 Zeiss),HMIAS-2000 高清晰彩色医学图文分析系统(美国 Media Cybernetics 公司),免疫组织化学所需相关设备均由甘肃中医学院病理教研组提供。

1.2 方法

1.2.1 实验动物分组及模型制备 选用 80 只健康成年 SD 大鼠(由甘肃中医学院动物实验中心提供),雌雄不限,体质量(220 ± 20)g。实验前经裂隙灯检查双眼等大,角膜透明,瞳孔等大等圆,虹膜血管清晰,晶状体无混浊。将所选大鼠随机分为:对照组(正常组)、缺血再灌注后 0h 组、6h 组、12h 组、24h 组、48h 组、72h 组、168h 组,每组 10 只。除对照组外,缺血再灌注组模型的建立采用前房加压灌注法^[2,3]。大鼠称质量,用 100g/L 水合氯醛(0.0035mL/g) ip 麻醉,麻醉满意后,将大鼠取俯卧位固定于鼠台上,随机选取该大鼠的 1 眼造模,5g/L 托吡卡胺滴眼液散瞳,结膜囊内滴氯霉素滴眼液 2 次,5g/L 丙美卡因滴眼液行眼表面麻醉,将连接平衡盐溶液瓶输液管的 4.5 号头皮针沿颞侧角巩膜缘刺入大鼠眼前房,针头斜面向上以免损伤虹膜和晶状体,胶布固定头皮针于大鼠同侧耳缘处。缓慢升高输液瓶至瓶内液面与大鼠实验眼垂直距离 150cm 处,此时眼压 110mmHg (1mmHg = 0.133kPa),可见球结膜及虹膜迅速变白,直接检眼镜下见视网膜苍白,动静脉变细明显,视网膜中央动静脉的供血完全阻断。氯霉素滴眼液滴

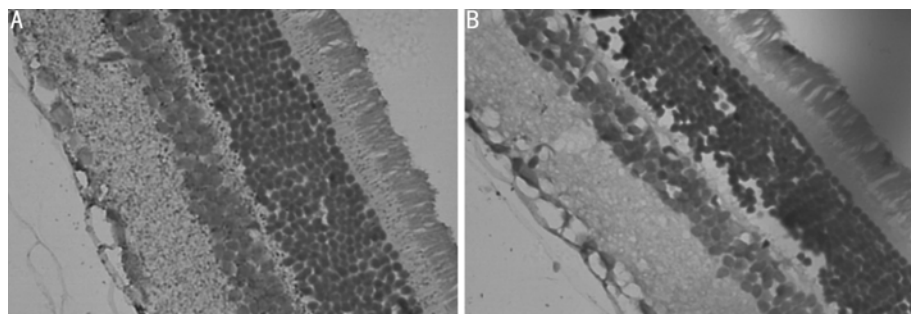


图 1 大鼠在视网膜缺血再灌注损伤后 72h IGF-1 和 IGFBP-3 的表达(SABC 法, $\times 400$)
A: IGF-1; B: IGFBP-3。

眼以保持实验动物角膜湿润,进一步预防感染。前房内灌注持续形成高眼压造成视网膜缺血 60min 后,缓慢降低输液瓶高度至大鼠眼水平,使眼压缓慢降低。关闭输液器,拔出输液针头,虹膜及球结膜颜色迅速恢复正常,直接检眼镜下见眼底视网膜呈橘红色,说明被阻断的血管已重新开放,形成再灌注。术毕结膜囊涂红霉素眼膏,松解大鼠,待其自然苏醒后回笼。

1.2.2 标本的取材和固定 除去造模中出现角膜失代偿、前房出血及晶状体损伤的大鼠,每组随即抽取 6 只造模成功大鼠。按实验设计预订时间(即灌注后 0, 6, 12, 24, 48, 72, 168h)取材,向腹腔内注射过量 100g/L 水合氯醛以处死实验大鼠,在眼球 3:00 ~ 9:00 位做好标记后,立即摘取眼球,保留视神经大约 1 ~ 1.5mm,置于 40g/L 多聚甲醛磷酸缓冲液(pH7.4)内 4℃ 固定 24h,常规梯度乙醇脱水及二甲苯透明后石蜡包埋,切片。

1.2.3 HE 染色观察病理学变化 取包埋好的眼球标本,平行于视神经矢状轴且以其为平面的视网膜进行连续切片 6 ~ 8 张,每张厚约 5μm,置于预先用多聚赖氨酸处理的洁净载玻片上,60℃ 温箱烤片过夜。行 HE 染色,光镜下观察各组视网膜内层组织结构变化。

1.2.4 免疫组织化学染色观察 IGF-1 及 IGFBP-3 的表达 制成的切片置于 65℃ 烤箱中烤 2 ~ 3h,脱蜡、水洗,高压修复,置于 3mL/L H₂O₂ 中加热阻断内源性过氧化物酶, PBS 缓冲液中洗涤,加兔抗大鼠 IGF-1 多克隆抗体(一抗)孵育盒中 4℃ 孵育,PBS 缓冲液中洗涤,严格按照说明书方法染色,DAB 显色,苏木素复染,脱水,透明,封片。显微镜观察拍照(设阴性对照:用 PBS 代替一抗,其余步骤相同)。IGFBP-3 采用免疫组织化学 SABC 法严格按照说明书方法染色(除一抗外,余步骤同上),然后显微镜观察,每次染色均做阳性和阴性对照。采用 HMIAS-2000 高清晰彩色医学图文分析系统,IGF-1 及 IGFBP-3 的免疫组织化学染色切片,结果判定以细胞胞浆内呈棕黄色为阳性^[4,5],每个时间点各取 3 张,在同一放大倍率(200 倍)下随机选择 5 个不同视野,在视网膜阳性表达区域计算平均吸光度(A)值来定量测定表达含量。

统计学分析:数据处理采用 SPSS 17.0 统计软件,根据数据特征采用 t 检验,相关性分析采用 Pearson 法。数据均用 $\bar{x} \pm s$ 表示, $P < 0.05$ 为差异具有统计学意义。

2 结果

2.1 视网膜组织病理学变化 正常视网膜组织染色均匀,结构清晰,给予缺血再灌注处理后,0h 即可见细胞水肿;再灌注后 6h 细胞水肿明显,达到高峰,结构疏松,神经节

表 1 各组大鼠 RIRI 后不同时间 IGF-1 与 IGFBP-3 的表达

($\bar{x} \pm s$, $n=6$)

分组	IGF-1	IGFBP-3
0h	0.075 ± 0.030	0.041 ± 0.007
6h	0.421 ± 0.026	0.090 ± 0.025
12h	0.686 ± 0.024	0.278 ± 0.026
24h	1.126 ± 0.048	0.740 ± 0.056
48h	1.975 ± 0.096	1.231 ± 0.046
72h	3.313 ± 0.102	2.011 ± 0.106
168h	2.395 ± 0.096	1.348 ± 0.086

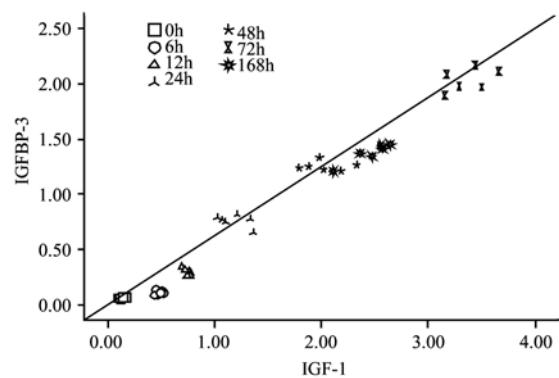


图 2 IGF-1 与 IGFBP-3 表达相关性。

细胞层细胞体积增大,水肿明显;再灌注 12h 细胞水肿有所减轻;72h 视网膜水肿基本消失,视网膜轻度变薄。

2.2 IGF-1 与 IGFBP-3 的表达 IGF-1 结果判定以视网膜中细胞质染色为棕黄色表示阳性,在正常组中即可见有轻微表达,表达最弱,再灌注后 6h 可见表达明显增高,于再灌注后 72h 表达达到高峰(图 1A),此后开始下降,再灌注后 168h,IGF-1 表达较正常值仍高($P < 0.05$)。IGFBP-3 结果判定以视网膜中细胞质染色为棕黄色表示阳性,在正常组中亦可见有轻微表达,主要分布于神经节细胞层,再灌注后 6h 仍未见明显增高,于再灌注后 12h 表达开始明显增高,同时在再灌注后 72h 表达达到高峰(图 1B),再灌注后 168h 表达下降($P < 0.05$,表 1)。

2.3 IGF-1 与 IGFBP-3 的相关性 图 2 直观地表示 IGF-1 和 IGFBP-3 的表达变化具有直线上升趋势,变化是同向的,二者具有正相关性。为了更进一步了解 IGF-1 和 IGFBP-3 之间密切程度和相关方向,采用 Pearson 分布法计算二者的相关系数,结果示相关系数 $r = 0.993$ ($0 < r < 1$),具有统计学差异($P < 0.05$)。从而证明,二者在视网膜组织中具有显著的正相关性。

3 讨论

胰岛素样生长因子系统 (insulin-like growth factors, IGFs) 是一个复杂的体系, 自发现到现在已有 40 多年的历史。它最早被称为硫化因子, 1978 年被正式命名为胰岛素样生长因子, 主要由肝脏合成。此外, 生殖器官、生殖道、胎盘和胚胎等也能合成 IGFs。IGFs 生物学作用广泛, 在维持和调控细胞生长、增殖、分化、成熟、再生及抑制细胞凋亡方面具有重要作用。近年来, 其在眼科疾病中的作用逐渐受到关注。关于在视网膜中是否表达 IGFBP-3, 1996 年 Burren 等^[6] 研究认为, IGFBP-3 在眼组织的表达定位于脉络膜内皮层和色素层, 以及睫状体的色素上皮。而在 2003 年, Yang 等^[7] 对于 IGFBP1-6 在眼组织中的表达做了重新评估, 证实 IGFBP-3 在人类视网膜和视网膜色素上皮 (RPE) 均有表达, 且组织中 IGFBP-3 可以与 IGF-1 结合, 减少组织内 IGF-1 的表达量^[8], 从而对 RIRI 产生影响^[9]。

本次动物实验进一步证明, 正常视网膜组织中 IGF-1 与 IGFBP-3 即有表达, 在视网膜发生缺血再灌注损伤时, 视网膜组织内 IGF-1 于再灌注后 6h 表达明显增强, IGF-1 表达在再灌注后 72h 达到高峰 ($P < 0.05$)。有研究证明, RIRI 后诱导细胞凋亡的因子 Bax 在再灌注后 24h 达到高峰, 开始形成同源二聚体, 诱导细胞凋亡, IGF-1 是多种细胞的强有力分裂原和抗细胞凋亡的因子, 具有控制各种细胞的增殖、分化和凋亡的作用, 通常通过自分泌和旁分泌的方式起作用。IGF-1 可以上调 Bcl-2 表达, Bcl-2 通过与 Bax 形成异二聚体进而控制细胞凋亡^[10,11], IGFBP-3 在 IGF-1 表达增强后开始增强, 于再灌注后 72h 达到高峰 ($P < 0.05$)。通过 Pearson 分析, 二者具有明显相关性, IGFBP-3 在组织中可以与 IGF-1 结合, 且亲和度较 IGF-1R 高^[12], 从而减少组织内 IGF-1 的表达量。已有研究证实外源性给予 IGF-1 可以降低脑缺血再灌注的损伤程度^[13], 是否能用于改善视网膜缺血再灌注仍未知, 且能否通过改变 IGFBP-3 表达程度来调节 IGF-1, 以达到保护 RIRI 的目的, 仍是一个值得研究的课题。

参考文献

- 1 Casati S, Zoppini G, Muqeo M, et al. Sustained regression of florid diabetic retinopathy in a patient with Donohue syndrome (leprechaunism). *Eur J Ophthalmol* 2010;20(1): 224-227
- 2 Selles-Navarro I, Villegas-Perez MP, Salvador-Silva M, et al. Retinal ganglion cell death after different transient periods of pressure-induced ischemia and survival intervals. A quantitative *in vivo* study. *Invest Ophthalmol Vis Sci* 1996;37(10):2002-2014
- 3 Ophir A, Berenshtain E, Kitrossky N, et al. Protection of the transiently ischemic cat retina by znicdesferoxamine after ischemia-reperfusion. *IVOS* 1994;35(2):669-676
- 4 Penha AM, Schaeffel F, Feldkaemper M. Insulin, insulin-like growth factor-1, insulin receptor, and insulin-like growth factor-1 receptor expression in the chick eye and their regulation with imposed myopic or hyperopic defocus. *Mol Vis* 2011;17:1436-1448
- 5 Schlueter PJ, Peng G, Westerfield M, et al. Insulin-like growth factor signaling regulates zebrafish embryonic growth and development by promoting cell survival and cell cycle progression. *Cell Death Differ* 2007;14(6):1095-1105
- 6 Burren CP, Berka JL, Edmondson SR, et al. Localization of mRNAs for insulin-like growth factor-I (IGF-I), IGF-I receptor, and IGF binding proteins in rat eye. *Invest Ophthalmol Vis Sci* 1996;37(7):1459-1468
- 7 Yang H, Chaum E. A reassessment of insulin-like growth factor binding protein gene expression in the human retinal pigment epithelium. *J Cell Biochem* 2003;89(5):933-943
- 8 Verbukh E, Weiss O, Halpert M, et al. Gene expression of insulin-like growth factor-I, its receptor and binding proteins in retina under hypoxic conditions. *Metabolism* 1998;47(11):1331-1336
- 9 Slomiany MG, Rosenzweig SA. Autocrine effects of IGF-I-induced VEGF and IGFBP-3 secretion in retinal pigment epithelial cell line ARPE-19. *Am J Physiol* 2004;287(3):C746-753
- 10 王新月, 马静. Bcl-2/Bax 在缺血-再灌注损伤视网膜的表达. 眼外伤职业眼病杂志 2008;30(7):518-520
- 11 张鸿, 郑东明, 赵冬雪, 等. 胰岛素样生长因子-1 对大鼠据造型脑缺血再灌注后神经细胞凋亡及 Bcl-2, Bax 蛋白表达的影响(英文). 中国现代医学杂志 2004;14(18):14-18
- 12 Jiang Y, Steinle JJ. Systemic propranolol reduces b-wave amplitude in the ERG and increases IGF-1 receptor phosphorylation in rat retina. *Invest Ophthalmol Vis Sci* 2010;51(5):2730-2735
- 13 Guan J. Insulin-like Growth Factor-1 (IGF-1) Derived Neuropeptides, a Novel Strategy for the Development of Pharmaceuticals for Managing Ischemic Brain Injury. *CNS Neurosci Ther* 2011;17(4):250-255